

아크릴아미드의 逆乳化重合

金光雄* · 李華榮** · 朴鳳賢**

*韓國科學技術院 高分子研究部

**서울大學校 工科大學 化學工學科

(1982년 3월 4일 접수)

Inverse Emulsion Polymerization of Acrylamide

K.U. Kim*, H.Y. Lee** and B.H. Park**

*Polymer Research Division

Korea Advanced Institute of Science and Technology

**Dept. of Chemical Engineering

Seoul National University

(Received March 4, 1982)

要約：아크릴아미드(AM)의 逆乳化重合을 여러 反應條件에서 最大의 分子量을 얻는 工程을 開發하였다. 開始劑, 還元劑, 乳化劑의 濃度에 따른 폴리아크릴아미드(PAM)의 分子量을 測定하였고, 反應溫度에 依한 分子量의 變化도 測定하였다. 研究된 工程은 回分式과 半回分式으로, 反應物의 注入方法, 反應溫度의 調節, 反應時間 等을 조사하여, 半回分式工程이 適合하다는 結論을 얻었다. 固有粘度에 依한 分子量의 測定은 Seed型 半回分式工程으로 最大的 分子量 3.3×10^6 (Mn)과 4.66×10^6 (Mw)을 나타내었다. PAM의 逆乳化重合機構는 미셀에서 重合이 進行되는 Smith-Ewart의 理論을 따르지 않았다.

ABSTRACT: To develop new process for maximum molecular weight of polyacrylamide (PAM), various polymerization conditions were studied with inverse emulsion polymerization scheme. Concentrations of initiator, reducing agent and emulsifier were investigated in terms of molecular weight of PAM. Reaction temperature was also studied for molecular weight. Among several batch and semi-batch processes tested with feeding method of reactants, controllability of reaction temperature and reaction time, a semi-batch process was suitable for maximum molecular weight of PAM. This seed-type semi-batch process yielded 3.3 million (Mn) and 4.66 million (Mw) in molecular weights measured by the intrinsic viscosity method. Inverse emulsion polymerization mechanism of PAM, however, did not follow the Smith-Ewart theory.

1. 서 론

1954年 美國의 Dow社가 高分子量의 폴리아크릴아미드(PAM)를 凝集劑로 開發한 이래, PAM

은 水處理와 產業用水의 淨化에 큰 봇을 차지하고 있다. PAM의 用途는 凝集劑外에 多樣하게 使用되고 있는데,¹ 凝集剤로써의 使用效果는 非이온性인 경우 分子量에 左右되고 있어 分子量

아크릴아미드의 逆乳化重合

의增加를 위해 많은努力을 해 오고 있다.

PAM의重合은自由ラジカル에 의해 이루어지며, 重合方法은溶液重合,²沈澱重合,³逆乳化重合⁴이 있고, 이온重合法^{5,6} 및間接重合法⁷도 알려져 있다. 이중溶液重合法이主로利用되고 있는데分子量이千萬이 되는PAM도報告되어 있다.⁸ 그러나溶液重合法은一般的으로重合이進行됨에 따라높은粘度,反應熱의蓄積,攪拌의 어려움,낮은轉換率等의問題때문에反應을낮은固形分(보통10%이하)으로進行시키며,反應時間도 대체로 길다. 특히最近에알려진아크릴아미드單量體가發癌性物質이라는報告는未反應單量體가갖는潛재적危險을除去하기위해完全한轉換이매우바람직하다.

乳化重合法은反應速度와分子量을同時に増加시킬수있는唯一한方法으로合成고무의生産에널리利用되고있다. 그러나乳化重合法은스티렌과같이물에대한溶解度가매우낮은單量體의重合에잘適用되나, AM과같이單量體와重合體가共히물에잘溶解하는物質은正常的인乳化重合法을使用할수없다. AM單量體를有機溶劑에乳化시켜重合하는逆乳化重合法을使用하여反應의開始,成長,停止의調節이쉽고,짧은反應時間,낮은重合temperature,높은固形分,낮은粘度,efficiency의反應熱去除,取扱의容易等乳化重合의長點을그대로利用할수있을뿐아니라,높은分子量의重合體를얻을수있다는長點을갖고있다.

本研究에서는AM單量體를물에溶解시켜n-heptane으로乳化시켰다.開始剤와還元剤를使用하는酸化還元系를使用하여PAM의分子量을最大로하는重合工程을反應temperature,開始剤와乳化剤의濃度,還元剤의量等을變化시켜研究하였다.分子量의推定은粘度를利用하는Mark-Houwink式으로計算하였다.

2. 逆乳化重合의概要

乳化重合의反應機構에關한理論은比較的잘 알려져 있다. Harkins⁹가스티렌의乳化重合에關해처음으로機構가提案되었고, Smith와Ewart¹⁰가定性的基礎를만들었다.理論은重

合의開始가미셀내에서일어난다고하여, 그以後Smith¹¹와여러 다른研究者들^{12~16}에依해實驗的으로證明되어理論의定量的인發展도이루하였다. 그러나以後來 다른反應理論들이提示되었는데, Medvedev^{17,18}는反應開始가乳化剤層에서일어난다는機構를展開하였고, Roe¹⁹와Fitch^{20~22}는水溶液에서, Ugelstad等²³은單量體液滴(monomer droplet)에서反應이開始된다는理論을提案하였다. 이와같이몇개의相異한反應機構의出現은主로單量體,開始剤,還元剤等의물에對한溶解度와相互溶解度의差異에起因하고있는것같다. 실제應用되고있는乳化重合工程은위의여러機構가併行해서일어난다고看做된다.例를들어스티렌과같이물에對한溶解度가매우적은경우는미셀내에서거의反應이開始되나, 에틸렌이나酢酸비닐같이比較的溶解度가큰單量體들은水溶液에서反應이더쉽게開始된다고알려져있다.^{19~22}

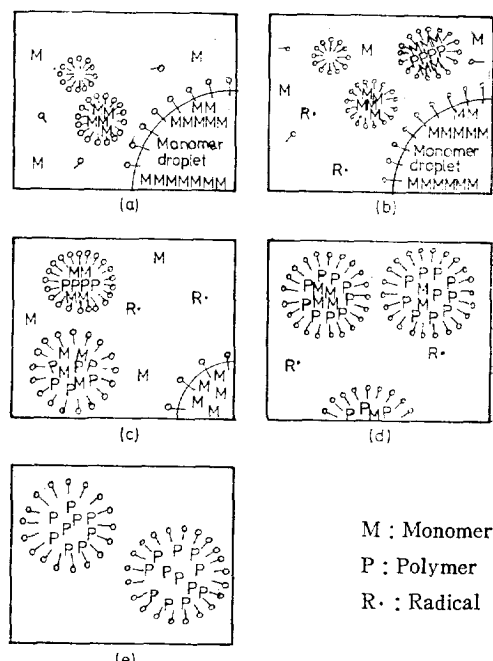


Figure 1. Representation of Stages of Ideal Emulsion Polymerization (a) Prior to Initiation (b) Polymerization Stage 1 (c) Polymerization Stage 2 (d) Polymerization Stage 3 (e) End of Polymerization.

乳化重合의 反應段階을 便宣上 Fig. 1과 같이 나눌 수 있다.²⁴

- 反應前(a); 乳化劑와 單量體를 물과 같이 교반하면, 大部分의 단량체는 乳化劑에 依해 分散된 1~10 μ 크기의 單量體液滴으 存在하며 少量의 단량체는 단량체로 張운된(monomer-swollen) 粒子에 끌어 올거나 水相에 녹아 있다. 한편 유화제는 대부분이 50~100Å의 미셀을 形成하고 少量이 단량체液滴의 表面과 水相에 溶解되어 있다.

- 重合第1 단계(b); 水溶性開始劑와 還元劑의 存在하에 反應이 開始되면 開始劑는 分解되어 라디칼이 生成된다. 生成된 라디칼은 水相에 溶解되어 있는 단량체와 結合하여 미셀안이나 단량체로 张운된 粒子속으로 들어가 重合을 開始한다. 라디칼의 미셀로의 이동은 미셀의 부피당 총 表面積이 단량체液滴의 表面積보다 훨씬 커 確率的으로 미셀 속으로 들어가게 된다. 이 단계에서 重合速度는 增加하여 단량체의 10~20%가 轉換된다.

- 重合第2 단계(c); 生成된 라텍스粒子는 커져서 末反應미셀의 유화제를 吸着하여 安定된다. 末反應유화제는 없어지고, 重合은 단량체로 张운된 입자에서만 일어나 粒子數는 固定된다. 확산에 의한 단량체液滴으로부터의 단량체 供給은 계속된다. 重合速度는 一定하고, 20~60%의 단량체가 轉換된다.

- 重合第3 단계(d); 단량체液滴內의 단량체는 모두 소모되고, 라텍스粒子內의 단량체濃度도 減少한다. 따라서 重合速度는 減少하여 60~70% 轉換이 이루어진다.

- 重合完了(e); 모든 단량체가 소모되어 重合은 끝난다. 生成된 라텍스는 유화제에 의해 물에 分散되어 있다.

逆乳化重合은 水溶性단량체를 乳化重合시키는 方法으로 Fig. 1과 같은 反應機構에서 分散媒體로 물에 有機溶媒을 使用하여 유화제로 安定化시킨 것이다. 逆乳化重合의 개략적인 機構를 Fig. 2에 나타내었다. 미셀의 形成을 確實치 않으나 물에 溶解된 단량체가 유화제(water-in-oil型)에 依해 安定되어 단량체液滴을 形成하여 단량체의 主供給源이 된다. 反應開始, 成長, 終結

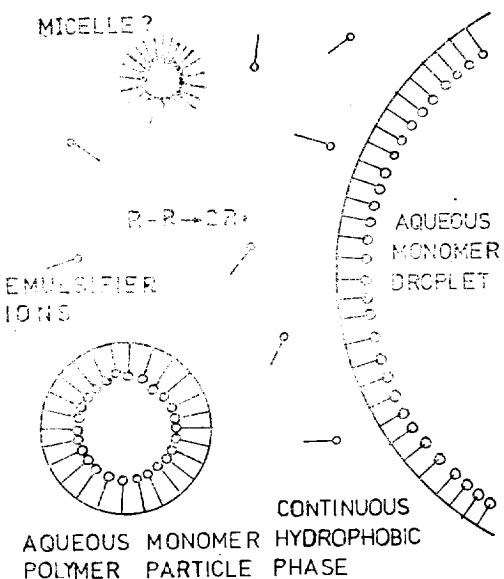


Figure 2. Schematic Representation of Inverse Emulsion polymerization

Table I. Comparison of Conventional and Inverse Emulsion Polymerization

	Conventional	Inverse
Monomer	Hydrophobic	Hydrophilic
Dispersing medium	Water	Oil
Emulsifier	Oil-in-water type	Water-in-oil type
Initiator	Water soluble	Water or oil soluble

은 乳化重合時와 같은 理論으로 推定된다. Table I에 乳化重合과 逆乳化重合의 重要한 差異點을 들었다.

乳化重合은 工程上으로 回分式(batch), 半回分式(semi-batch), 連續式(continuous)으로 나눌 수 있는데, 回分式이 第一 간단한 工程으로 反應의 調節이 容易하고, 적은 양의 제품을 만들 수 있어, 實驗室의으로 많이 利用되고 있다. 半回分式은 回分式과 같이 하나의 反應器를 使用하나 反應物과 添加劑의 注入을 一定時間동안 繼續注入하는 方法으로, 反應熱의 除去가 容易하고, 製品의 구조를 쉽게 變化시킬 수 있는 장점이 있다. 連續式은 2~15個의 反應器를 連結하여 使

아크릴아미드의 逆乳化重合

用하는데 大量生産의 工程이라고 할 수 있다. 開始劑의 라디칼 生成方法에 따라 熱重合法(thermal method)과 酸化還元法(redox method)으로 나눌 수 있다. 热重合法은 대체로 높은 温度에서 反應을 進行시키는데, 開始剤의 自由라디칼이 热에 依해 生成되어 反應을 開始한다. 酸化還元法은 開始剤와 還元劑(reducing agent)間의 酸化還元反應으로 라디칼이 生成되어 비교적 낮은 温度에서 反應이 進行된다. 一般的으로 分子量은 反應溫度가 낮아짐에 따라 增加하므로 本研究에서는 酸化還元法을 澤하였다.

Smith-Ewart理論¹⁰에 기초를 둔 Vanderhoff²⁵의 結果는 理想的인 乳化重合의 경우 正常狀態(steady-state)에서 成長反應速度(R_p)와 重合度(DP; degree of polymerization)는 다음式으로 나타낼 수 있었다.

$$R_p = k_1 [I]^{0.4} [E]^{0.6} [M] \quad (1)$$

$$DP = k_2 [I]^{-0.6} [E]^{0.6} [M] \quad (2)$$

式(1)과 (2)에서 $[I]$ 는 開始剤濃度, $[E]$ 는 乳化剤濃度, $[M]$ 은 單量體濃度이고 k_1 과 k_2 는 常數이다. 式(2)에 依하면 重合度는 分子量에 比例하므로 開始剤의濃度가 낮을수록, 乳化剤의濃度가 높을수록 分子量은 增加한다는 것을 알 수 있다. 本研究에서 分子量의 測定은 PAM의 固有粘度, $[\eta]$, (intrinsic viscosity)를 測定하여 Mark-Houwink式인 다음 關係式을 使用하였다.

$$[\eta] = KM^a \quad (3)$$

式(3)에서 K와 a는 常數로써 그 값들이 Table II에 주어져 있다.

本研究에서는 最大的 PAM分子量을 주는 逆乳化重合工程을 確立하고, 反應條件와 反應物의 量을 調節하여 이들의 分子量에 對한 영향을 考察하였다.

3. 實驗

3-1. 試藥

單量體AM은 일본 Wako社의 1급試藥을 chloroform에 加해 50°C로 加熱溶解시킨 후 再結晶하는 過程을 2回 반복하여 精製하였다. 開始剤는 *t*-butylhydroperoxide(TBHP)로 美國 Aldrich

社의 試藥을 그대로 使用하였고, 還元劑로는 NaHSO₃로써 일본 Wako社의 1급試藥을 그대로 使用했다. 일본 Kishida社 시약인 Span 80을 乳化剤로 썼으며, *n*-heptane을 有機溶媒로 使用하였고, 反應에 使用된 물을 이온交換器를 통과한 중류수를 使用하였다.

3-2. 實驗장치

重合에 使用한 장치의 개략은 Fig. 3과 같다. 反應器의 容量은 500ml이고, 교반기는 Teflon 재질의 paddle型으로 100~150rpm의 回轉速度를 유지하였다. 反應온도는 温度調節器(TC)에 依해 自動的으로 ±1°C의 범위로 調節되었다. 重合時 酸素의 存在는 重合抑制의 效果가 있어 질소를 反應器內로 注入시켜 不活性ガス의 환경에서 重合이 進行되게 하였다.

3-3. 實驗方法

3-3-1. 原料溶液(한례)

單量體에 液相은 水相과 油相의 比率이 7:3으로 混合하여 使用했는데, 水相은 AM 단량체 50g을 물 50g에 溶解시킨 것이고, 油相은 *n*-heptane 40.72g을 Span 80 2.14g과 같이 混合한 것이다. 两相을 混合하여 約 5,000rpm의 高速고반기로 2~3分 beating하여 安定한 단량체에 液相을 만든다. 開始剤용액은 TBHP 1ml(0.9g)을 *n*-heptane 19ml(13g)에 잘 溶解시킨 후 물을 加하여 0.5 wt.%가 되도록 한다. 還元剤의 溶液은 단량체에 液相과 비슷하게 제조되는데, 水相으로 NaHSO₃ 0.1g과 물 99.9g을 混合하여 溶解시키고, 油相은 *n*-heptane 40.72g과 Span 80 2.14g의 混合物로 两相을 섞어 安定한 液相을 얻는다.

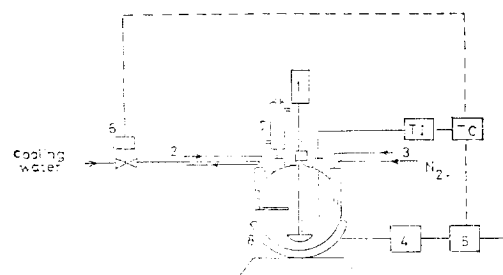
3-3-2. 重合工程

使用된 3가지 工程에 對한 說明은 다음과 같다

- 工程 A : 回分式工程으로 還元剤外의 모든 反應物을 反應器에 넣고 少量의 還元剤를 注入하여 室温에서 反應을 開始한다. 加熱과 冷却은 전혀 하지 않고 還元剤의 注入量으로 反應溫度를 調節시킨다. 還元剤의 注入으로 開始剤가 分解

Table II. Intrinsic Viscosity and Molecular Weight Relationship for Polyacrylamide, $[\eta] = KM^a$

Solvent	Temperature [°C]	$K \times 10^4, \text{dl/g}$	a	Mole. Wt. Range, $M \times 10^{-4}$	Method ¹	Ref
Water	25	0.631	0.80	2~50	SD	26
Water	25	6.8	0.66	1~20	PR	27

¹ SD : Sedimentation and diffusion(yielding M_w)PR : Analysis of polymerization rate(yielding M_n)

1. Mechanical Stirrer 2. Monomer Emulsion
 3. Reducing Agent 4. Transformer
 5. Magnetic Switch 6. Solenoid Valve
 7. Reflux Condenser 8. Heating Mantle

TI : Temperature Indicator

TC : Temperature Controller

Figure 3. Experiment Apparatus for Polymerization

되어 라디칼이生成되고, 重合을開始함으로反應熱에依해溫度가上昇하게되는데, 라디칼의消滅은溫度의下降으로 알 수 있다. 간헐적인還元劑의注入으로反應溫度를可能한最少幅으로 줄인다. 더 이상의還元劑注入으로도溫度가上昇되지 않으면單量體의消滅을意味해反應은終結된다.

- 工程 B : 回分式工程으로 工程 A와 같으나反應溫度의調定은 加熱과冷却水로自動的으로하고, 還元劑의注入은連續的으로一定時間동안계속한다.

- 工程 C : 半回分式工程으로開始劑溶液과單量體에 멀접의 25% 정도를反應器에 넣고反應溫度를調定한後에 50ml의還元劑solution을서서히注入하여反應을시킨다. 約 20분의時間경과후에 단량체에 멀접,開始劑solution,還元劑solution을同時에繼續的으로注入을始作한다. 實驗室의으로는 단량체에 멀접과開始劑solution을混合하여注入하여도無妨하다. 단량체와開始劑의注入

을約2時間半동안계속되며, 還元劑의注入은30分정도더繼續되도록注入量을調節한다.反應溫度의調定은工程B와같이自動으로한다.

3-3-3. 分子量測定

重合된PAM에 멀접을 多量의 메타놀에 침전시켜 glass filter로 여과한 후 30°C에서減壓건조하였다. 건조된PAM을水溶液으로 만들어 Ubbelohde 점도계로, 25±0.1°C로 유지되는항온조에서 점도를測定하여固有粘度 $[\eta]$ 를計算하였다. 計算된 $[\eta]$ 를式(3)과Table II를이용하여分子量을計算하였다.

4. 結果와 考察

4-1. 重合工程과 分子量

Fig. 4가工程A에依해反應溫度45°C를基準으로한重合에서溫度變化를 나타내고있다. 室溫(20°C)에서反應이開始된後42~52°C의溫度變化를보여주고있는데,反應溫度를調定하기 위해注入된還元劑의量과時間을Fig. 4에막대로表示하고있다.反應은2時間程度에서終結되고총還元劑solution의注入量은20ml以內임을알수있다. PAM의에밀전을메탄올로

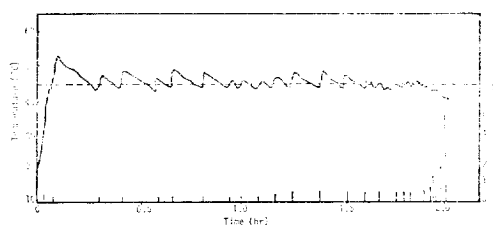


Figure 4. Temperature vs. Reaction Time for Process A. ($[TBHP]=0.035\text{mole}\%$, $[\text{NaHSO}_3]=0.1\text{mole}\%$, $[\text{Span}80]=2.14\text{wt.}\%$)

아크릴아미드의 逆乳化重合

Table III. Intrinsic Viscosity and Molecular Weight with Various Polymerization Conditions for Process A and Process B ([Span 80]=2.14wt.% on Monomer)

Process	Temperature (°C)	Reaction Time(hr)	TBHP ^a (mole %)	[η] (dl/gr)	Mol.wt. × 10 ⁻⁶	
					Mw Eq(4)	Mn Eq(5)
A	33-41 ^b	3	0.035	8.46	2.57	1.60
A	33-40 ^b	3.5	0.017	11.05	3.53	2.40
A	42-53 ^c	1.25	0.035	6.20	1.74	1.00
A	42-52 ^c	2	0.035	6.99	2.02	1.20
B	35	3.5	0.035	5.87	1.62	0.92
B	40	3.5	0.035	5.66	1.60	0.87
B	45	3.5	0.035	4.99	1.33	0.72
B	50	3.5	0.035	3.50	0.85	0.42

a. To monomer acrylamide

b. Intended reaction temperature ; 35°C

c. Intended reaction temperature ; 45°C

Table IV. Intrinsic Viscosity and Molecular Weight with Various Polymerization Conditions for Process C

Temperature (°C)	Reaction Time (hr)	TBHP ^a (mole %)	NaHSO ₃ ^a (mole %)	Span 80 ^a (wt %)	[η] (dl/gr)	Mol.wt. × 10 ⁻⁶	
						Mw Eq(4)	Mn Eq(5)
40	3.5	0.035	0.1	2.14	7.37	2.16	1.30
35	3.5	0.035	0.1	2.14	6.99	2.02	1.20
35	3.5	0.035	0.1	2.14	9.80	3.03	2.00
35	4	0.017	0.1	2.14	12.24	4.07	2.80
35	4	0.008	0.1	2.14	13.09	4.43	3.10
35	4	0.004	0.1	2.14	13.36	4.54	3.20
35	4	0.004	0.05	2.14	13.64	4.66	3.30
35	4	0.004	0.2	2.14	12.81	4.31	3.00
35	4	0.004	0.3	2.14	11.36	3.71	2.50
35	4	0.004	0.1	1.07	11.34	3.70	2.50
35	4	0.004	0.1	4.28	12.22	4.06	2.79

a. To monomer acrylamide

침전 건조한 후, 수용액의 점도로 固有粘度[η]를 求하고 分子量과의 關係에서 PAM의 分子量을 計算하였다.

$$[\eta] = 6.31 \times 10^{-5} M_w^{0.80} \quad (4)$$

$$[\eta] = 6.8 \times 10^{-4} M_n^{0.68} \quad (5)$$

式(4)와 (5)에 依해 計算된 分子量은 각각 重量平均과 數平均分子量을 주고 있는데, 이들 分子量이 Table II에 준分子量의 범위 밖이라, 이들 式들에 關한 適合性은 의문시되고 있다. 그러나 本研究의 目的인 重合工程의 確立을 為해 分子量을 서로 比較하는데는 큰 問題點이 없을

것으로 看做되어 两式을 그대로 使用하였다.

Table III은 工程 A와 B로 重合한 PAM에 關한 結果를 보여주고 있다. 两式을 利用한 分子量의 計算에서 보면, 工程 A가 대체로 工程 B보다 높은 分子量을 주고 있다. 그러나 Fig. 4에서 본 바와 같이 不良한 温度調節때문에 좋은 工程이라고 할 수 없다. Table IV는 工程 C에 依한 重合結果를 나타내고 있는데, 两反應溫度 35°C와 45°C에서 앞의 两工程 A, B보다 높은 分子量을 주고 있다. 따라서 本研究는 工程 C를 中心으로 工程의 最適化를 도모하였다.

4-2. 轉換率

乳化重合의 長點中에서 짧은 反應時間과 높은 轉換率은 工程上 큰 利點을 갖고 있다. Fig. 5는 工程 B를 利用하여 AM의 轉換率을 反應時間과 같이 나타낸 것인데 두 開始劑의 濃度에서 3時間

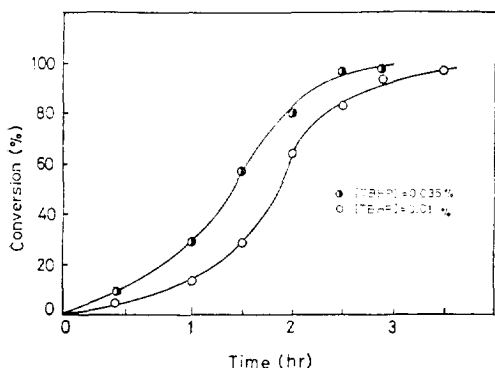


Figure 5. Conversion vs. Reaction Time for Process B (Reaction Temp.=35°C, $[NaHSO_3]=0.1$ mole %, $[Span80]=2.14$ wt. %).

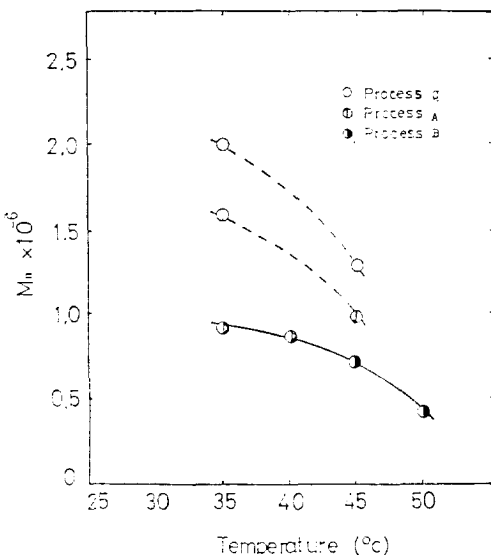


Figure 6. Molecular Weight vs. Reaction Temperature for Three Polymerization Processes ($[TBHP]=0.035$ mole %, $[NaHSO_3]=0.1$ mole %, $[Span80]=2.14$ wt. %).

이면 轉換이 거의 100%임을 알 수 있다. 100%의 轉換은 工業的으로 重要한데 특히 AM의 경우는 發癌性物質이란 報告가 있어 더욱 그러하다.

4-3. 温度의 영향

Fig. 6에 세 工程을 使用한 PAM의 分子量變化를 温度에 따라 나타내고 있다. 式(5)를 利用한 數平均分子量을 나타내고 있는데, 温度가 낮아짐에 따라 分子量이 높아짐을 알 수 있다. 35°C以下의 反應溫度에서는 몇 번의 試圖結果不良한 反應과 轉換을 보여 實驗結果를 包含시키지 않았으나, 다른 反應條件으로 安定한 反應이 可能할 것이다.

4-4. 開始劑, 還元剤, 乳化剤의 영향

Fig. 7, 8, 9에 開始剤, 還元剤 및 乳化剤의濃度에 따른 分子量(M_n)의變化를 각각 나타내고 있다. 開始剤의濃度가 낮을수록, 還元剤의濃度가 낮을수록 높은 分子量을 주고 있다. 그러나 乳化剤의濃度에 따른 分子量의變化는 最大值를 보여주고 있다. 式(2)로 나타낸 바와 같이 Smith-Ewart 理論에 따른 理想的인 乳化重合의 경우, 分子量은 開始剤의濃度 $[I]^{-0.6}$ 에 比例하여 增加하고, 乳化剤의濃度 $[E]^{0.6}$ 에 比例하여 增加하지만, 本研究의結果는 위의 比例關係를

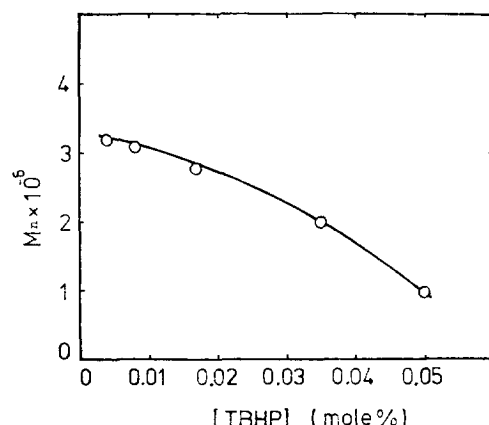


Figure 7. Molecular Weight vs. Initiator Concentration (Reaction Temperature=35°C, $[NaHSO_3]=0.1$ mole %, $[Span80]=2.14$ wt. %, Process C).

아크릴우미드의 逆乳化重合

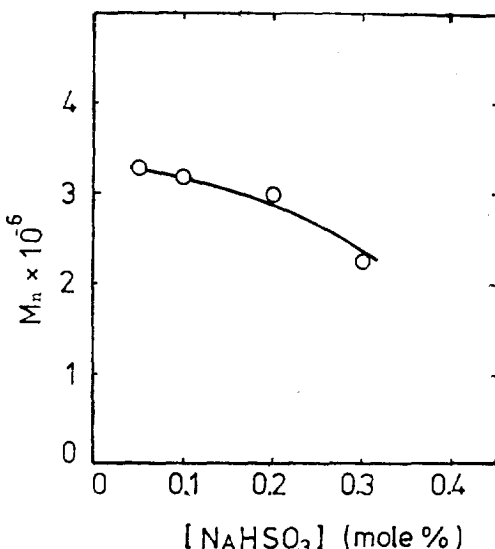


Figure 8. Molecular weight vs. Reducing Agent Concentration (Reaction Temperature=35°C, [TBHP]=0.004 mole %, [Span 80]=2.14wt. %, Process C).

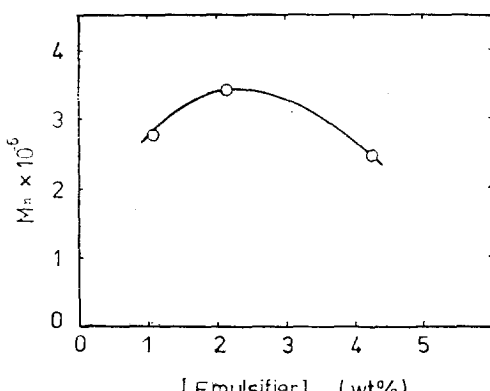


Figure 9. Molecular Weight vs. Emulsifier Concentration (Reaction Temperature=35°C, [TBHP]=0.004 mole %, [NaHSO₃]=0.1mole %, Process C).

벗어나고 있다. 이러한 差異는 다음 네 가지 要因으로 分析될 수 있다.

i) AM의 逆乳化重合은 水相과 油相을 共히 保有하고 있는데, AM의 물과 *n*-heptane에 對한 溶解度가 styrene의 溶解度보다 훨씬 높아, 重合

開始의 場所가 미셀內가 아닌 油相 혹은 水相에서 일어날 可能性도 매우 크다.

ii) 開始劑 TBHP는 *n*-heptane에 大部分 溶解하나 一部 물에도 녹아있게 되어 水相에서의 重合開始 確率은 더욱 높아진다.

iii) 단량체에 멀친 製造時 安定化시키는 方法으로 高速度교반기(5,000rpm)를 使用하였는데, 이러한 過程은 單量體液滴의 크기를 減少시켜 表面積을 增加시키는結果가 된다. 따라서 重合時 미셀과 어느정도 경쟁적인 위치를 갖게 된다.

iv) 乳化剤와 單量體에 依한 chain transfer反應이 可能한데^{28,29}, 이러한 chain transfer反應은 分子量을 減少시키는結果를 招來한다.

따라서 PAM의 逆乳化重合機構는 Smith-Ewart 가 提示한 理想的인 乳化重合에서 벗어나, 單量體, 開始剤, 乳化剤 等의 물과 溶媒에 對한 溶解度의 差異와 chain transfer反應과 같은 부수적 인 要因으로 좀더 複雜한 反應機構을 갖고 있다.

5. 結論

1. 製品의 均一性, 工程의 調定, 反應의 容易性 等을 감안할 때 半回分式工程 C가 가장 適合한 工程이다.

2. 反應溫度 35°C, 反應時間 4時間, 開始剤 TBHP 濃度 0.004mole %, 還元剤 NaHSO₃ 濃度 0.05mole %, 乳化剤 Span 80 濃度 2.14wt. %에서 工程 C에 依해 最大的 分子量 3.30×10^6 (M_n)과 4.66×10^6 (M_w)를 얻었다.

3. PAM의 反應機構는 Smith-Ewart의 理想的인 乳化重合機構를 따르지 않고 있다.

参考文獻

- W.M. Thomas, "Encyclopedia of Polymer Science and Technology", Vol. 1, N.M. Bikales Ed., Interscience Publishers, N.Y. 1964, p. 177.
- T. Ishige and A.E. Hamielec, *J. Appl. Polym. Sci.*, **17**, 1479 (1973).
- D.J. Monagle and W.P. Shyluk, U.S. Patent 3,336,269 (1967).
- J.W. Vanderhoff and R.M. Wiley, U.S.

- Patent 3,284,393 (1966).
5. M. Magat, *Polymer*, **3**, 449 (1962).
 6. K. Butler, P.R. Thomas and G.J. Tyler, *J. Polym. Sci.*, **48**, 357 (1960).
 7. R.C. Schulz, P. Elzer and W. Kern, *Makromol. Chem.*, **42**, 197 (1961).
 8. E.R. Kolodny, U.S. Patent 3,002,960 (1961).
 9. W.D. Harkins, *J. Am. Chem. Soc.*, **69**, 1428 (1947).
 10. W.V. Smith and R.H. Ewart, *J. Chem. Phys.*, **16**, 592 (1948).
 11. W.V. Smith, *J. Am. Chem. Soc.*, **70**, 3695 (1948); *ibid*, **71**, 4077 (1949).
 12. W.H. Stockmayer, *J. Polym. Sci.*, **24**, 314 (1957).
 13. J.W. Vanderhoff, *J. Polym. Sci.*, **33**, 487 (1958).
 14. J.T. O'Toole, *J. Polym. Sci.*, **C27**, 171 (1969).
 15. S. Katz and G. Seidel, *J. Polym. Sci.*, **C27**, 149 (1969).
 16. J.L. Gardon, *J. Polym. Sci.*, A-1, **6**, 623 (1968); *ibid*, 643 (1968); *ibid*, 665 (1968); *ibid*, 687 (1968); *ibid*, 2853 (1968); *ibid*, 2859 (1968).
 17. S.S. Medvedev, "Proceedings of the Int. Symp. Makromolecular Chem., Prague 1957", Pergamon Press, N.Y. 1958, p. 174.
 18. S.S. Medvedev, IUPAC Int. Symp. in Macromolecular Chem., Vol. VI, Budapest, 1969, p. 39.
 19. C.P. Roe, *Ind. Eng. Chem.*, **60**, 20 (1968)
 20. R.M. Fitch, *J. Paint. Techn.*, **37**, 32 (1965).
 21. R.M. Fitch and T.J. Chen, *J. Polym. Sci.*, A-1, **6**, 3411 (1968).
 22. R.M. Fitch, M.B. Prenosil and K.J. Sprick, *J. Polym. Sci.*, **C27**, 95 (1969).
 23. J. Ugelstad, M. El-Asser and J.W. Vanderhoff, *J. Polym. Sci., Polym. Letters Ed.*, **11**, 503 (1973).
 24. E.W. Duck, "Encyclopedia of Polymer Science and Technology", Vol. 5, N.M. Bikales Ed., Interscience Publishers, N.Y., 1966, p. 801.
 25. B.M.E. Vanderhoff, *J. Phys. Chem.*, **60**, 1250 (1956).
 26. W. Scholtan, *Makromol. Chem.*, **14**, 169 (1954).
 27. E. Collinson, F.S. Dainton and G.S. McNaughton, *Trans. Faraday Soc.*, **53**, 489 (1957).
 28. S. Okamura and T. Motoyama, *J. Polym. Sci.*, **58**, 221 (1962).
 29. R. Patsiga, M. Litt and V. Stannett, *J. Phys. Chem.*, **64**, 801 (1960).